

Boletín Informativo

RCCH-BOL-2025-09

Red Climatológica del Estado de Chihuahua

septiembre de 2025

Índice

1	Introducción	1
2	Datos y Metodología	2
2.1	División de zonas	2
3	Temperatura	3
3.1	Anomalía de Temperatura	3
3.2	Rango de Temperaturas por Sitio	5
4	Precipitación	6
4.1	Acumulado de Precipitación	6
4.2	Anomalía de Precipitación	7
4.3	Día más lluvioso por sitio	9
5	Otras Variables	10
5.1	Presión	10
5.2	Velocidad de viento	12
5.3	Radiación	12
6	Conclusiones	12

Folio: RCCH-BOL-2025-09

1 Introducción

El presente boletín informativo ofrece un análisis detallado del comportamiento de variables climáticas clave durante el mes de septiembre de 2025, con base en los registros generados por la Red Climatológica del Estado de Chihuahua (RCCH). Este análisis compara los datos recientes con series históricas del periodo 2021–2025, lo que permite identificar tendencias, anomalías y eventos extremos relevantes para la gestión de riesgos climáticos y la toma de decisiones en los sectores productivo, agrícola y de protección civil.

2 Datos y Metodología

Los datos que sustentan este informe provienen de la red de estaciones distribuidas en puntos estratégicos del estado de Chihuahua. La información fue sometida a un proceso de verificación y depuración para garantizar su confiabilidad. Posteriormente, se realizaron cálculos de valores promedio, rangos, máximos, mínimos y anomalías, comparando los datos de septiembre de 2025 con los promedios históricos del mismo mes. Los valores presentados están en horario UTC. Las gráficas presentadas ilustran visualmente estos resultados, facilitando la interpretación de las condiciones climáticas observadas.

La Figura 1 muestra que durante septiembre de 2025, se identificaron tres estaciones con un porcentaje de datos disponibles inferior al umbral mínimo del 90% establecido para garantizar la calidad y representatividad de la información meteorológica. Esta situación se atribuye a diversas causas, como interrupciones en el suministro eléctrico, fallas en los sensores, problemas de conectividad, mantenimiento no programado o condiciones ambientales extremas que hayan afectado el funcionamiento de los equipos.

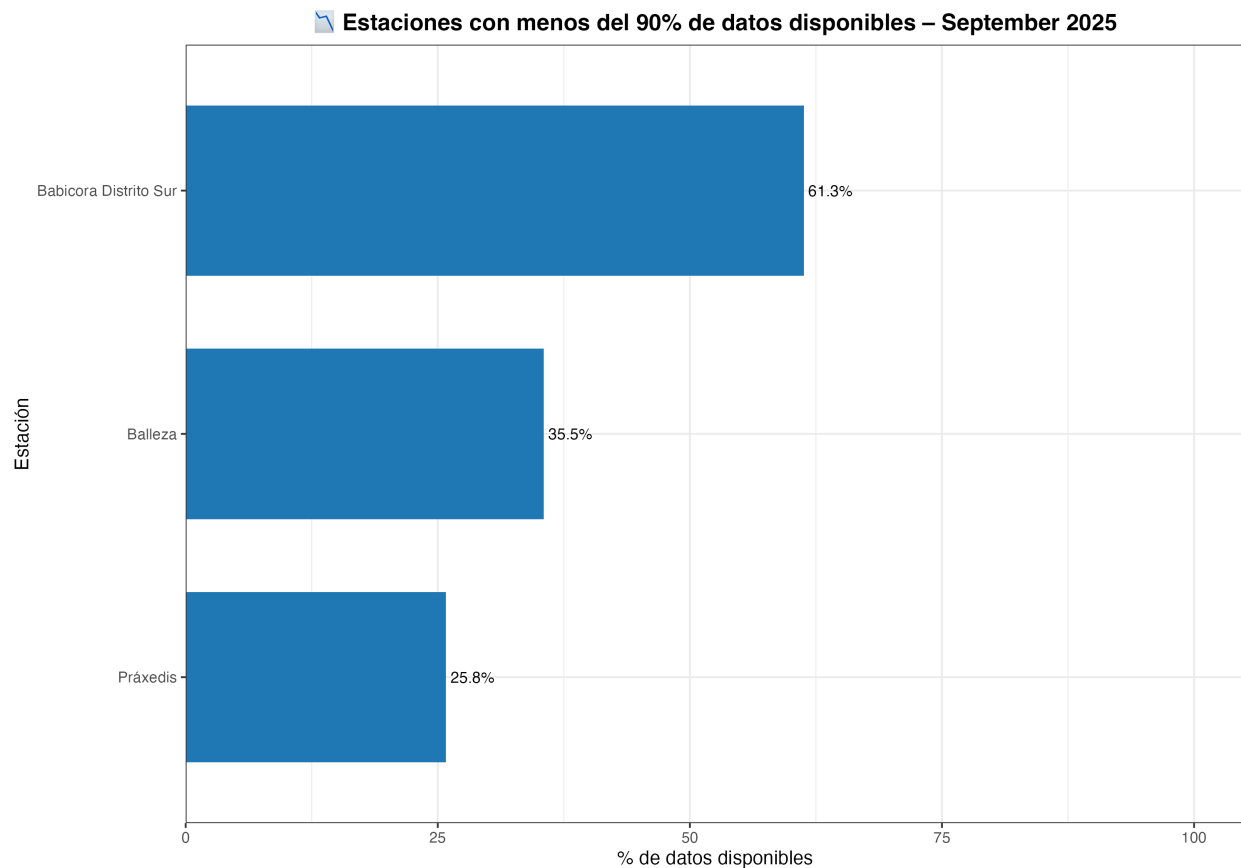


Figura 1: Sitios con menos del 90% de datos disponibles – septiembre 2025

2.1 División de zonas

Para efectos de este análisis, los sitios de monitoreo se clasificaron en seis clusters, definidos a partir de criterios de ubicación geográfica, características climáticas predominantes y funcionalidad operativa dentro de la Red Climatológica del Estado de Chihuahua. Esta segmentación permite optimizar la representatividad espacial y facilitar la interpretación comparativa de los registros obtenidos.

Zona 0: Comprende estaciones ubicadas en la franja fronteriza norte y región noroccidental, tales como

Ahumada, Ascensión, Juárez, Palomas, Práxedis y Ricardo F. Magón. La ubicación estratégica de estos puntos permite caracterizar condiciones climáticas transfronterizas y corredores de intercambio regional. Santa Isabel se incluye como nodo de control adicional hacia la porción centro-sur del estado.

Zona 1: Agrupa estaciones situadas en la región centro-sur y zona de llanuras, incluyendo Aldama, Camargo, Jiménez, Parral, Coronado y Valle de Zaragoza, así como nodos relevantes en el área metropolitana de Chihuahua (CHIH_Pcivil, CHIH_Potb, CHIH_JCAS). Este cluster concentra zonas de alta actividad económica, agroindustrial y administrativa, representando uno de los sectores con mayor densidad de población y cobertura de infraestructura.

Zona 2: Corresponde a la región de la Sierra Tarahumara y áreas de altitud media y alta en el occidente del estado, con sitios como Creel, Cuauhtémoc, Guerrero, Madera, San Juanito y Temósachi. Esta agrupación permite evaluar dinámicas de microclimas de montaña, gradientes térmicos, precipitaciones orográficas y ecosistemas forestales.

Zona 3: Incluye estaciones ubicadas en la porción oriental y noreste del territorio estatal, conformada por Coyame, Manuel Benavides y Ojinaga. Estas estaciones se consideran representativas de zonas de transición hacia cuencas interiores, caracterizadas por climas semiáridos y relevancia estratégica por su localización limítrofe con Coahuila y Texas.

Zona 5: Reúne estaciones localizadas en el área urbana de Ciudad Juárez (Don Bosco, IIT 01, Bomberos 9 Anapra, Clínica Nutrición UACJ y Babícora Distrito Sur). Este cluster urbano tiene como objetivo capturar variabilidad espacial intraurbana, efectos de isla de calor y dinámicas locales relacionadas con procesos urbanos e industriales.

La delimitación de estos clusters responde a la necesidad de estructurar el análisis de forma coherente con la distribución territorial y funcional de la red, garantizando consistencia técnica y operativa en la interpretación de los datos (Figura 2).

3 Temperatura

3.1 Anomalía de Temperatura

Durante septiembre de 2025 se observaron variaciones significativas en la temperatura promedio mensual respecto al promedio histórico del mismo mes, evidenciadas a través del análisis de anomalías en las estaciones de la red meteorológica estatal (Figura 3).

La mayoría de las estaciones registraron anomalías negativas, lo que indica que las temperaturas de septiembre fueron inferiores al promedio histórico, con descensos que alcanzaron hasta -2.3°C en estaciones del norte y noroeste como Don Bosco, NCG, IIT 01, Clínica Nutrición UACJ y Juárez. Este comportamiento sugiere la posible influencia de frentes fríos tempranos, mayor cobertura nubosa o eventos de precipitación que redujeron la temperatura media mensual en estas regiones.

Por otro lado, solo algunas estaciones del sur y centro del estado presentaron anomalías positivas, destacando Valle de Zaragoza ($+1.9^{\circ}\text{C}$), Coronado ($+1.4^{\circ}\text{C}$), Camargo ($+0.7^{\circ}\text{C}$) y Jiménez ($+0.3^{\circ}\text{C}$), donde las condiciones fueron más cálidas de lo habitual. Estas diferencias regionales podrían estar asociadas a menor nubosidad, influencia de sistemas anticiclónicos locales o reducción en la precipitación, que favorecieron el calentamiento diurno.

En conjunto, los resultados reflejan un comportamiento térmico heterogéneo, con predominio de condiciones más frías en el norte y occidente y un ligero calentamiento anómalo en el sur del estado. Este patrón podría tener implicaciones en los procesos de evapotranspiración, desarrollo fenológico agrícola y confort térmico, por lo que se recomienda su seguimiento en los meses subsecuentes.

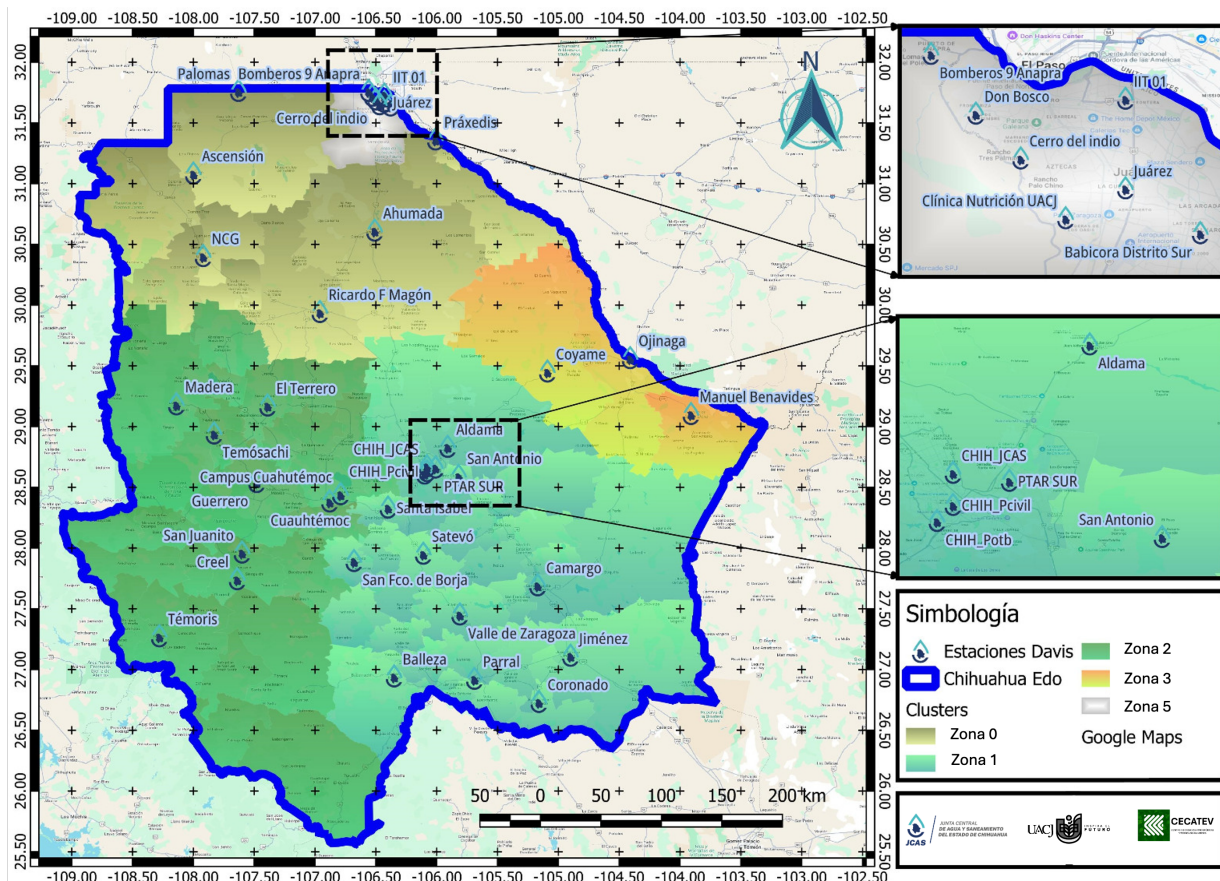


Figura 2: Zonificación Red Climatológica del Estado de Chihuahua

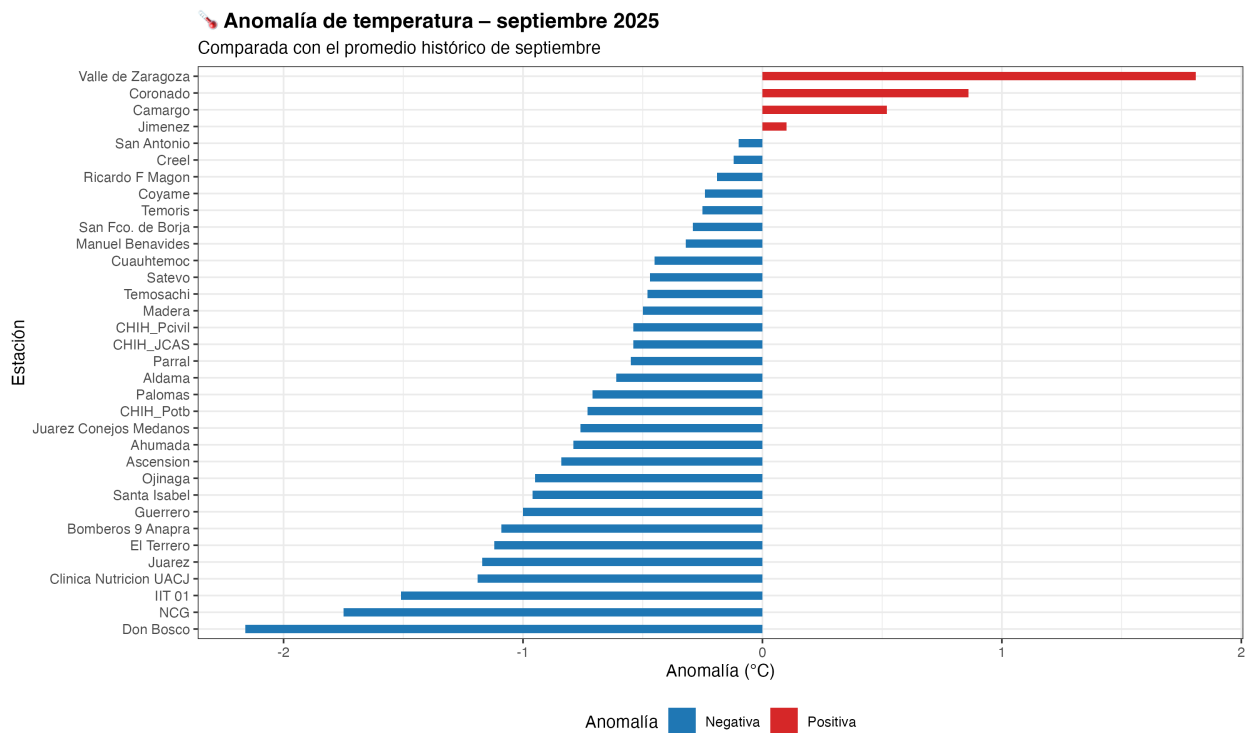


Figura 3: Anomalía en temperatura para septiembre (2021–2025)

3.2 Rango de Temperaturas por Sitio

Durante septiembre de 2025 se observaron diferencias térmicas significativas entre las distintas regiones del estado de Chihuahua, derivadas del análisis del rango de temperaturas por cluster o zona climática (Figura 4). Cada zona agrupa estaciones con características similares en altitud, ubicación geográfica y comportamiento térmico, lo que permite identificar contrastes claros en las condiciones atmosféricas del periodo.

En la Zona 0, correspondiente al norte urbano, las temperaturas promedio se mantuvieron entre 21 y 25 °C, con valores mínimos cercanos a 15 °C y máximos superiores a 30 °C. Se observó una marcada amplitud térmica diaria, típica del clima semiárido templado, influenciada por cielos despejados y baja humedad relativa. Las estaciones mostraron un comportamiento térmico homogéneo, coherente con la topografía plana y la influencia urbana.

La Zona 1, correspondiente al centro-sur del estado, se registraron las temperaturas promedio más elevadas, entre 23 y 26 °C, con máximos superiores a 35 °C. Esta región mostró un comportamiento cálido y estable, probablemente asociado a menor cobertura nubosa y mayor radiación solar. Coincide con las áreas donde se observaron anomalías positivas en comparación con el promedio histórico, destacando su carácter más cálido durante el mes.

La Zona 2, que comprende la Sierra Tarahumara y la región occidental, presentó los valores promedio más bajos, entre 15 y 20 °C, con rangos que van desde 5 °C hasta 30 °C. Estas condiciones reflejan un clima de montaña con alta variabilidad térmica diaria, producto de la altitud, el relieve y la radiación solar intensa durante el día, seguida de enfriamiento nocturno pronunciado. Es la zona con mayor contraste térmico del estado.

Por último, la Zona 3, que abarca la región este y fronteriza con Coahuila (Ojinaga, Manuel Benavides y Coyame), registró temperaturas promedio entre 27 y 30 °C y máximos superiores a 38 °C, los más altos del periodo. Corresponde a una región de baja altitud y clima árido cálido, donde la escasa nubosidad y la fuerte radiación solar favorecieron el calentamiento diurno. Es la zona más cálida del estado en septiembre de 2025.

En conjunto, el análisis confirma la heterogeneidad térmica del territorio chihuahuense, con un gradiente de temperaturas decrecientes desde el este y sur hacia la zona serrana del oeste. Septiembre de 2025 se caracterizó por un predominio de condiciones templadas a frías en la Sierra Tarahumara, valores intermedios en el norte urbano y temperaturas elevadas en el centro-sur y el oriente del estado. Este patrón térmico es consistente con la distribución topográfica regional y resulta relevante para la evaluación de riesgos agroclimáticos, el balance hídrico y el confort térmico de la población.

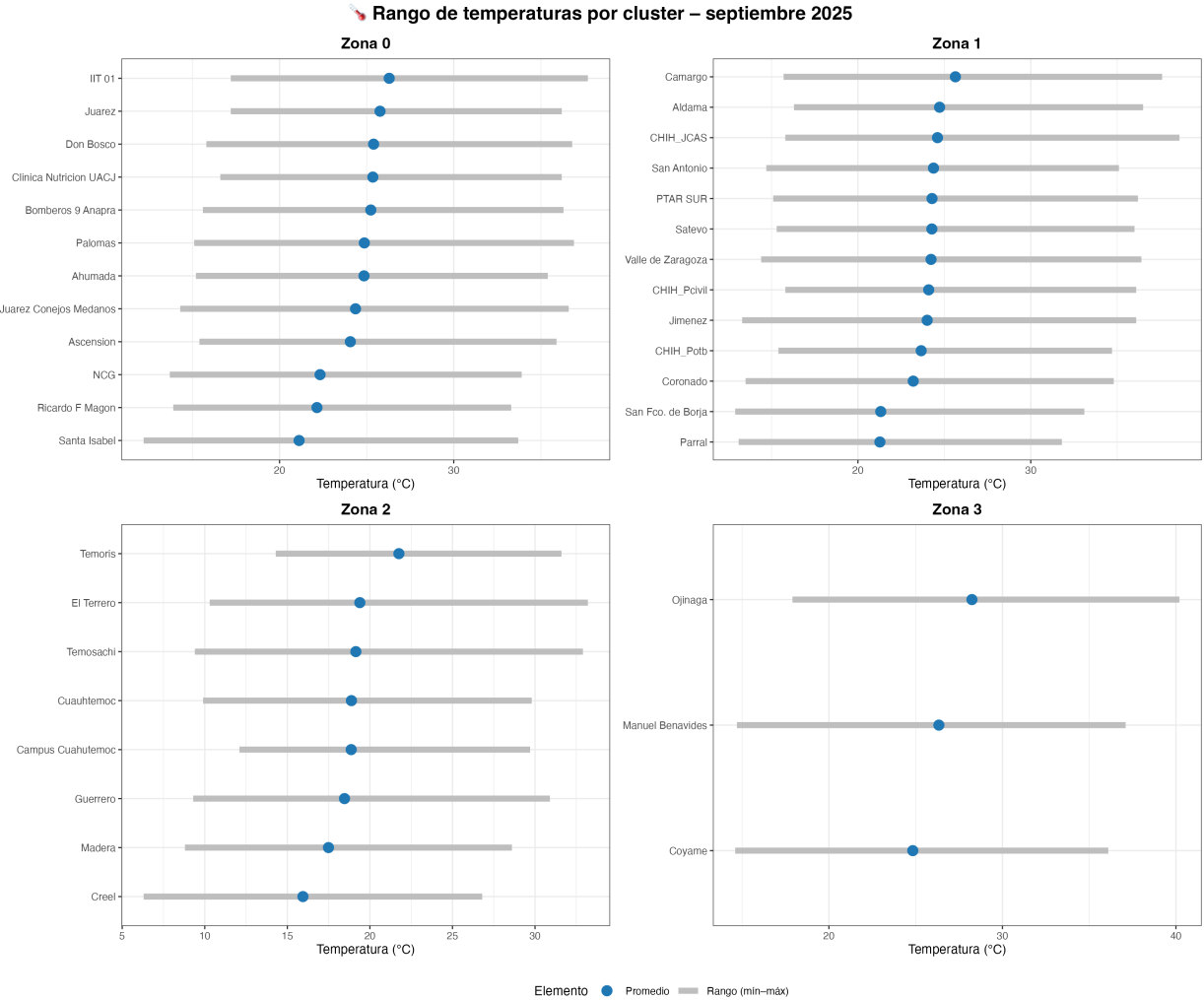


Figura 4: Comportamiento en temperatura para septiembre 2025

4 Precipitación

4.1 Acumulado de Precipitación

Durante septiembre de 2025 se registraron contrastes marcados en la distribución espacial de la precipitación acumulada en el estado de Chihuahua, de acuerdo con los valores observados por zona climática. La figura 5 muestra tanto la precipitación acumulada durante el mes de septiembre como el total anual 2025, permitiendo identificar las diferencias regionales en intensidad y aportes pluviales.

En la Zona 0, correspondiente al norte urbano, se observó una precipitación acumulada moderada a baja en

comparación con otras regiones del estado. Destacaron las estaciones Santa Isabel, NCG y Ricardo F. Magón, con acumulados cercanos o superiores a 500 mm anuales, mientras que estaciones urbanas como Juárez, IIT 01 y Don Bosco reportaron valores considerablemente menores, por debajo de 200 mm en septiembre. Esta zona se caracteriza por su clima semiárido, con lluvias de tipo convectivo, irregulares y de corta duración, concentradas principalmente en eventos aislados de verano.

La Zona 1, que agrupa las estaciones del centro-sur del estado como Aldama, Coronado, Parral, San Antonio y Valle de Zaragoza, presentó los valores más altos de precipitación total anual, con acumulados que alcanzaron o superaron los 600 mm. Durante septiembre se concentró una proporción significativa de este total, lo que indica que las lluvias del mes fueron intensas y generalizadas en esta región. El comportamiento sugiere la influencia de sistemas convectivos de verano y posibles efectos de ondas tropicales o humedad del Golfo de México, que favorecieron condiciones lluviosas en el sur del estado.

En la Zona 2, correspondiente a la Sierra Tarahumara y región occidental, estaciones como Témoris, Creel, Madera y El Terrero mostraron precipitaciones elevadas, con totales anuales superiores a 700 mm. Septiembre contribuyó de manera importante a este total, reflejando la persistencia de lluvias orográficas asociadas a la altitud y a la interacción con sistemas de baja presión. Este patrón confirma que la Sierra mantiene el mayor régimen pluvial del estado, con una distribución más constante y homogénea de lluvias a lo largo del año.

Por su parte, la Zona 3, ubicada al este y fronteriza con Coahuila (Coyame, Manuel Benavides y Ojinaga), registró los valores más bajos de precipitación anual, con totales que no superaron los 300 mm. En esta región árida, las lluvias de septiembre representaron un porcentaje reducido del acumulado anual, lo que evidencia la escasa influencia de los sistemas convectivos y la predominancia de condiciones secas durante la mayor parte del año.

En conjunto, la distribución espacial de la precipitación durante septiembre de 2025 revela un gradiente decreciente de sur a norte y de occidente a oriente, coherente con el patrón topográfico del estado. Mientras las zonas montañosas y del centro-sur registraron lluvias abundantes, las regiones áridas del norte y este permanecieron relativamente secas. Este comportamiento mantiene la tendencia histórica de Chihuahua, donde la Sierra Tarahumara y el sur concentran la mayor parte del aporte pluvial anual, siendo determinantes para la recarga hídrica y el equilibrio ecológico regional.

4.2 Anomalía de Precipitación

Durante septiembre de 2025 se registraron anomalías positivas de precipitación en la mayor parte del estado de Chihuahua, lo que indica que las lluvias fueron superiores al promedio histórico del mes en la mayoría de las estaciones analizadas. La figura 6 muestra los valores de anomalía (en milímetros) comparados con la media climatológica de septiembre, diferenciando los excesos de precipitación (en verde) y los déficits (en azul).

Las estaciones con los mayores excesos de lluvia fueron Santa Isabel, Aldama, Madera, El Terrero y NCG, donde se registraron valores positivos que oscilaron entre +80 y +160 mm respecto al promedio histórico. Este comportamiento sugiere la ocurrencia de episodios de lluvia intensa o prolongada, posiblemente asociados con la influencia de sistemas convectivos de verano, ingreso de humedad tropical o interacción con frentes fríos tempranos. Estas condiciones beneficiaron principalmente a las zonas de la Sierra Tarahumara, el norte serrano y el centro del estado, donde se concentraron los acumulados más altos.

En contraste, se identificaron anomalías negativas en un grupo reducido de estaciones localizadas principalmente en el sur y extremo norte del estado, incluyendo Coronado, Valle de Zaragoza, Manuel Benavides y Juárez Conejos Médanos, con déficits de hasta -40 mm. Estas áreas presentaron condiciones más secas de lo habitual, posiblemente relacionadas con una distribución irregular de los eventos de precipitación o con efectos locales de sombra orográfica y subsidencia atmosférica que limitaron el desarrollo de lluvias.

En general, septiembre de 2025 se caracterizó por un exceso de precipitación a escala estatal, con una distribución espacial que favoreció principalmente al occidente, norte y centro de Chihuahua. Este comportamiento contribuyó de manera significativa al incremento del acumulado anual y podría reflejar

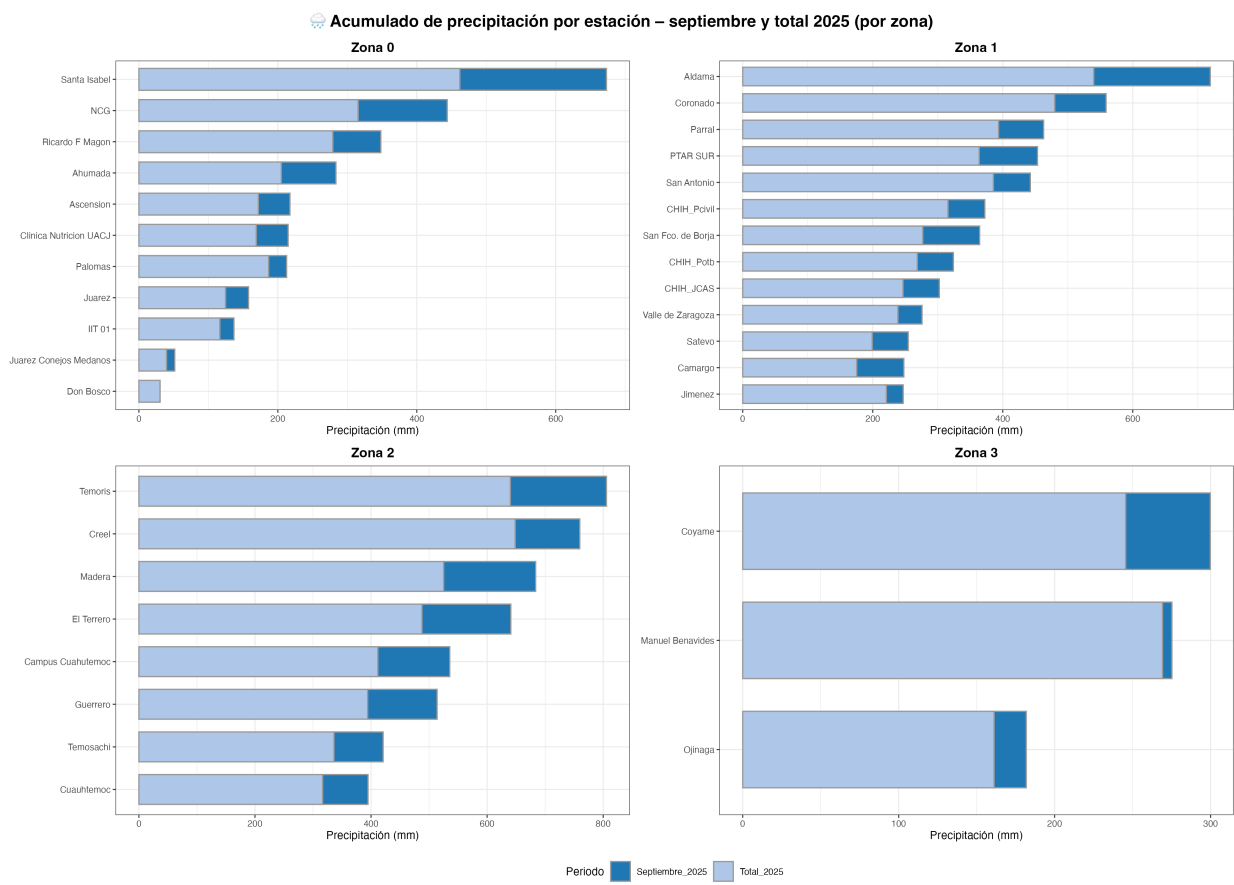


Figura 5: Acumulado de precipitación para septiembre 2025 vs primer semestre 2025

una prolongación del periodo lluvioso hacia finales del verano. La heterogeneidad observada confirma la influencia combinada de factores topográficos y dinámicos en la variabilidad pluvial del estado, resaltando la importancia de mantener un monitoreo continuo para la gestión de los recursos hídricos y la prevención de impactos asociados a lluvias intensas.

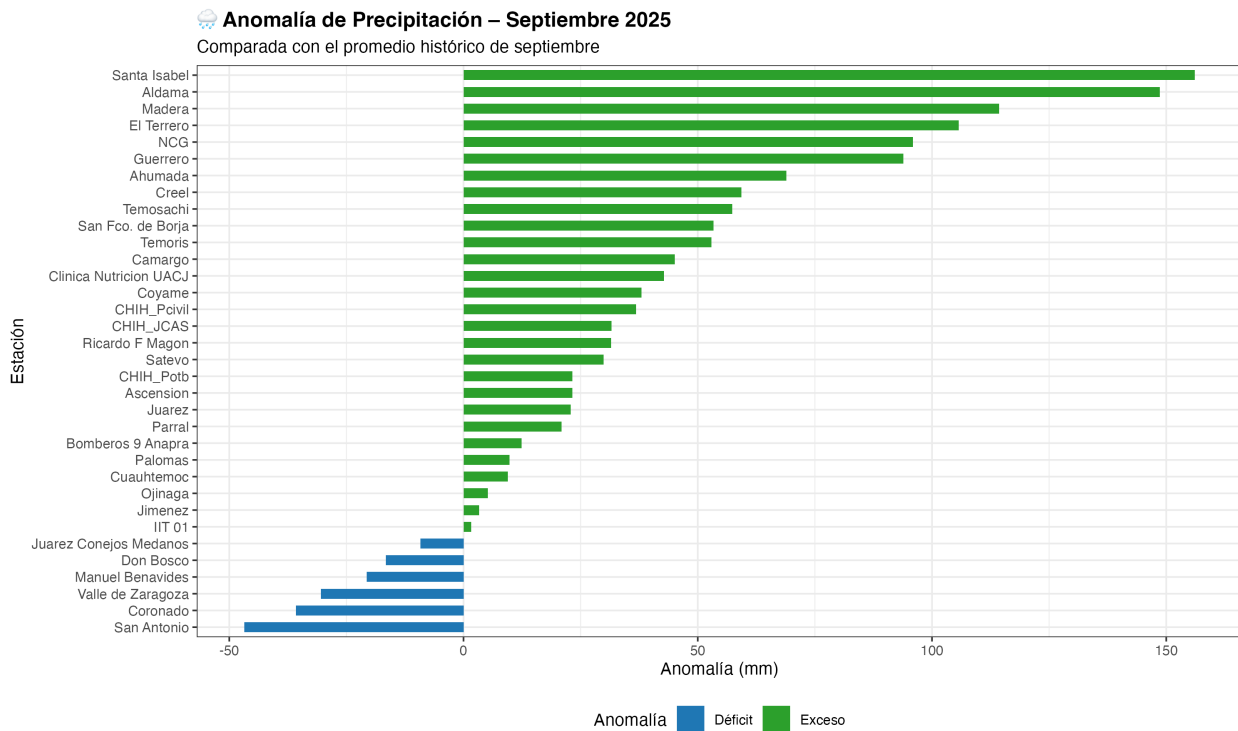


Figura 6: Anomalía de acumulado de precipitación para septiembre (2021–2025)

4.3 Día más lluvioso por sitio

El análisis de la precipitación diaria en septiembre de 2025 revela que, aunque el acumulado mensual presentó déficits en varias regiones, se registraron eventos puntuales de alta intensidad en distintas estaciones. La figura 7 muestra únicamente aquellas localidades donde hubo al menos un día con acumulados superiores a 50 mm, lo que permite identificar la ocurrencia de lluvias extremas.

En general, se observa que las lluvias no fueron continuas, sino que ocurrieron en episodios aislados y de corta duración, aunque con alta intensidad en algunas zonas. Los eventos más destacados se concentraron entre los primeros días del mes (1–4 de septiembre), mediados de mes (14–17) y hacia el final (27–30 de septiembre), lo que sugiere la influencia de sistemas convectivos de verano y posibles remanentes de ondas tropicales.

Las estaciones que registraron precipitaciones diarias más elevadas fueron Témoris (con un evento superior a 60 mm), El Terrero, Guerrero, Santa Isabel y Creel, ubicadas principalmente en la Sierra Tarahumara y región occidental del estado. Este patrón confirma el papel de la orografía en el desarrollo de lluvias intensas, donde la elevación y la convergencia de humedad favorecen la formación de tormentas. En contraste, las estaciones del norte y oriente (como Ahumada, Camargo, Aldama y Coyame) mostraron precipitación más esporádica y de menor magnitud, indicando una menor influencia de los sistemas convectivos principales.

En conjunto, septiembre de 2025 se caracterizó por una precipitación concentrada en eventos puntuales de alta intensidad, con predominio de lluvias fuertes en la Sierra y zonas del centro, mientras que el norte y el oriente mantuvieron un régimen más seco e irregular. Este comportamiento es típico del final del ciclo

lluvioso de verano en Chihuahua, cuando las tormentas se vuelven más localizadas pero aún pueden generar acumulados significativos en cortos periodos, con relevancia para la gestión de riesgos por escorrentimientos e inundaciones locales.

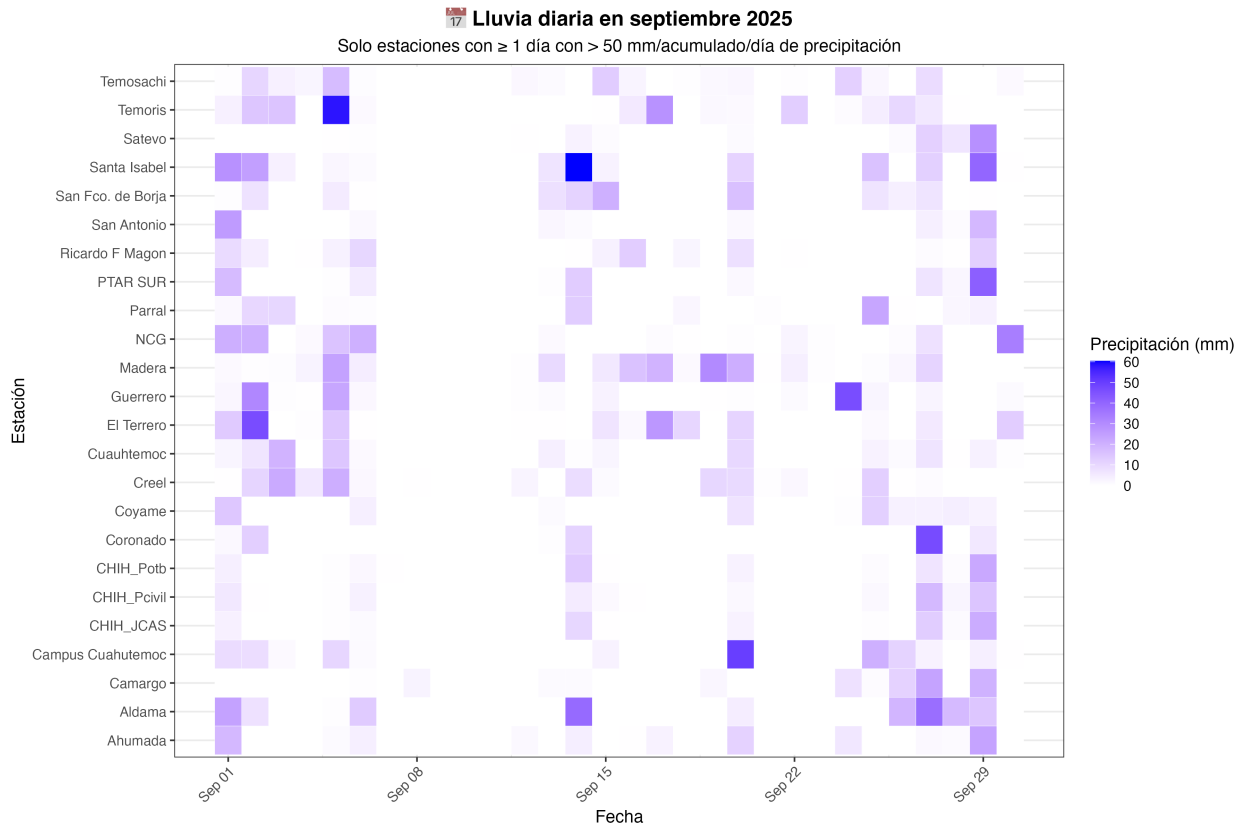


Figura 7: Eventos de lluvia extrema para septiembre (2021–2025)

5 Otras Variables

5.1 Presión

El análisis del rango de presión atmosférica en septiembre de 2025 muestra una relativa homogeneidad en los valores promedio entre las diferentes zonas del estado de Chihuahua, aunque con variaciones notables en los rangos diarios registrados en ciertas estaciones (Figura 8).

En la Zona 0 (norte urbano, incluyendo Juárez y municipios cercanos), las presiones promedio se situaron entre 1006 y 1010 mb, con rangos relativamente amplios, lo que sugiere variaciones diarias moderadas asociadas con el paso de sistemas frontales débiles y fluctuaciones térmicas propias del clima semiárido. Las estaciones Santa Isabel, NCG y Palomas mostraron los valores más altos de presión dentro del grupo, mientras que Juárez Conejos Médanos y IIT 01 registraron presiones más bajas, reflejando posibles efectos locales de altitud y calentamiento superficial.

La Zona 1, correspondiente al centro y sur del estado (Camargo, Parral, Jiménez, Coronado, Valle de Zaragoza, entre otras), presentó presiones promedio similares, entre 1007 y 1011 mb, con ligeras variaciones hacia valores más altos en estaciones de menor altitud como Jiménez y Parral. Las diferencias observadas responden principalmente a la topografía regional, donde las cuencas bajas presentan mayor presión

atmosférica. En general, la zona mostró condiciones estables, compatibles con la presencia de sistemas anticiclónicos predominantes durante gran parte del mes.

En la Zona 2 (Sierra Tarahumara y región occidental), se registraron presiones promedio ligeramente menores, entre 1005 y 1009 mb, destacando Creel y Temósachic como las estaciones con menor presión media. Este comportamiento está directamente relacionado con la altitud elevada del terreno y la influencia orográfica, que tienden a reducir la presión atmosférica y a aumentar su variabilidad diaria debido a la rápida respuesta térmica del ambiente montañoso.

Por su parte, la Zona 3 (Coyame, Manuel Benavides y Ojinaga), ubicada en el oriente del estado, presentó presiones promedio en torno a 1008–1011 mb, con rangos amplios en algunos casos. La relativa estabilidad atmosférica en esta región se asocia con su baja altitud y con la influencia de sistemas de subsidencia del aire seco, típicos de las zonas áridas fronterizas.

En conjunto, los resultados muestran que durante septiembre de 2025 la presión atmosférica en el estado de Chihuahua se mantuvo dentro de rangos normales, con ligeras variaciones asociadas a la altitud y a condiciones locales, sin evidencia de perturbaciones significativas. La distribución espacial confirma el patrón esperado: presiones más bajas en la Sierra Tarahumara y más altas en las zonas planas del norte, centro y oriente, coherentes con la dinámica topográfica y climática del estado.

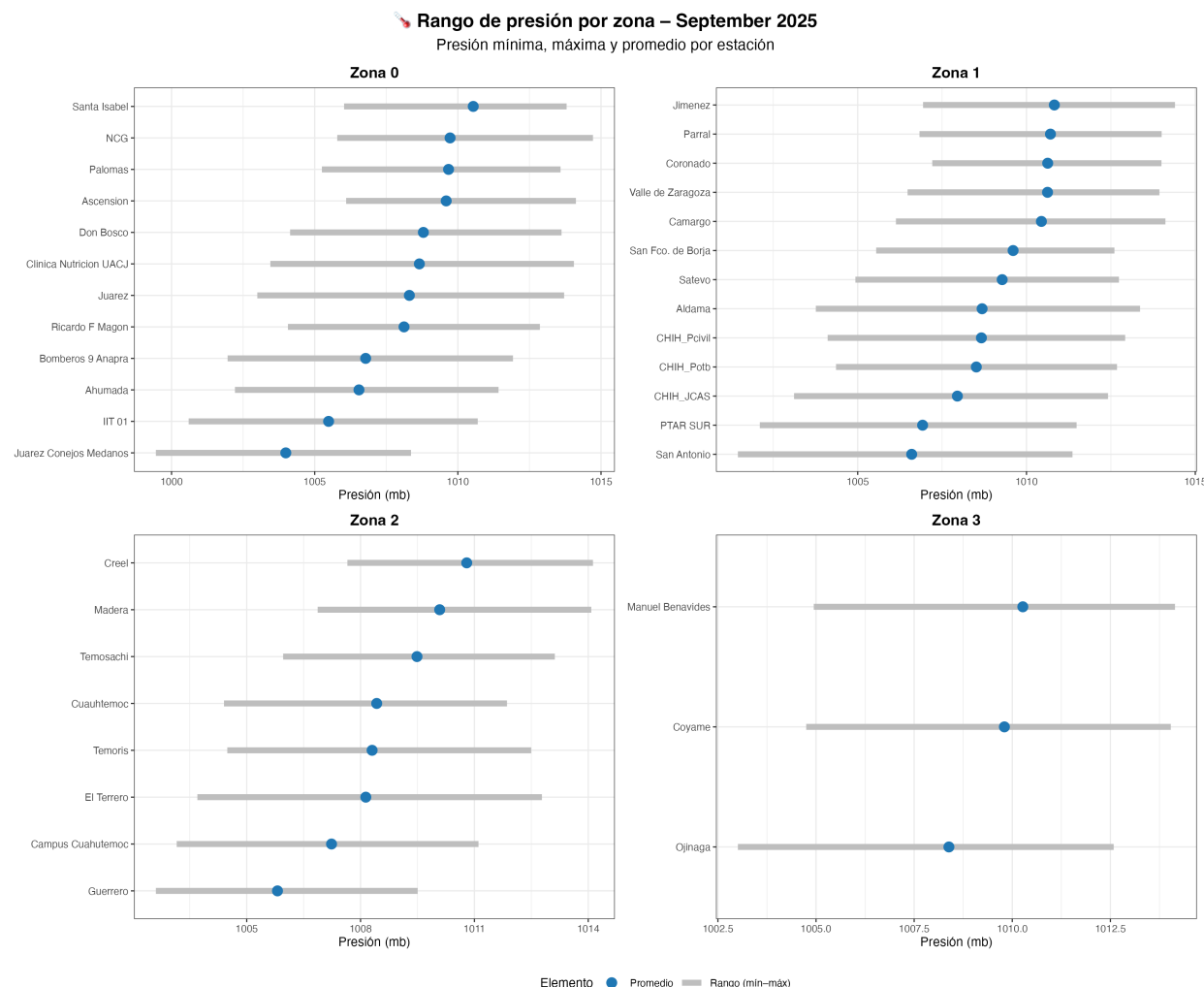


Figura 8: Comportamiento de la presión barómetrica para septiembre 2025

5.2 Velocidad de viento

El análisis de la velocidad del viento durante septiembre de 2025 revela un comportamiento variable entre zonas, con registros de velocidades máximas elevadas en múltiples regiones del estado. El gráfico presentado ilustra tres elementos clave por sitio: el promedio mensual (puntos azules), el rango completo de valores (línea gris entre mínimo y máximo) y la velocidad máxima puntual registrada (triángulo rojo) (Figura 9).

En la Zona 0, las velocidades promedio oscilaron entre 2 y 8 km/h, con picos máximos que superaron los 12 km/h en algunas estaciones. Las mayores velocidades se registraron en Bomberos 9 Anapra, Juárez y Don Bosco, lo cual refleja la influencia del efecto urbano y la topografía abierta del valle de Juárez, que favorecen el canalizamiento del viento. En contraste, estaciones como Santa Isabel y NCG mostraron velocidades promedio menores a 3 km/h, indicando condiciones más estables y menor turbulencia.

La Zona 1 presentó velocidades promedio entre 2 y 5 km/h, con valores más altos en Parral y Jiménez. Esta región mostró una menor variabilidad respecto al norte, asociada con condiciones topográficas más cerradas y menor influencia de sistemas frontales, lo que genera un régimen de viento más uniforme y moderado.

En la Zona 2 (Sierra Tarahumara y región occidental), las velocidades promedio fueron similares, de 2 a 6 km/h, con máximos de hasta 9 km/h en Campus Cuauhtémoc. Las variaciones observadas reflejan la influencia de la orografía montañosa, que modula la intensidad y dirección del viento. Las estaciones de mayor altitud, como Temósachic y Témoris, presentaron los valores más bajos, mientras que las zonas intermedias (Cuauhtémoc y Guerrero) registraron una ligera mayor actividad eólica.

Por su parte, la Zona 3 mostró velocidades promedio de 3 a 6 km/h, con Ojinaga registrando los máximos absolutos del mes (hasta 11 km/h). Esta región árida y abierta tiende a experimentar vientos más constantes e intensos, impulsados por el contraste térmico diurno y la circulación de aire seco proveniente del desierto de Chihuahua.

En conjunto, septiembre de 2025 se caracterizó por vientos predominantemente moderados, con valores medios entre 3 y 6 km/h en la mayoría de las estaciones. Los mayores registros se concentraron en el norte y oriente del estado, mientras que la Sierra Tarahumara y el centro-sur presentaron condiciones más calmadas. Este patrón es coherente con la transición estacional de verano a otoño, cuando la actividad eólica disminuye gradualmente tras el periodo de mayor convección atmosférica.

5.3 Radiación

El análisis de la radiación global durante septiembre de 2025 muestra un comportamiento relativamente estable en los promedios estatales, aunque con diferencias notables entre zonas y estaciones asociadas principalmente a la altitud, nubosidad y condiciones atmosféricas locales (Figura 10).

En conjunto, septiembre de 2025 presentó una radiación solar elevada en todo el estado, con un patrón claramente definido: mayores valores en el norte y oriente árido, y menores en las zonas serranas del occidente. Este comportamiento es coherente con la climatología regional de Chihuahua, donde la topografía, la nubosidad y la altitud determinan la variabilidad espacial de la radiación. Los resultados son relevantes para la evaluación del potencial energético solar, así como para el análisis del balance térmico y las condiciones de confort ambiental durante la transición de verano a otoño.

6 Conclusiones

Con base en los resultados presentados en el boletín RCCH-BOL-2025-08, se concluye lo siguiente:

Durante septiembre de 2025, el estado de Chihuahua presentó condiciones climáticas heterogéneas, reflejo de su compleja topografía y de la transición estacional entre verano y otoño. En términos generales, se observó un descenso moderado de la temperatura media respecto al promedio histórico, con anomalías negativas

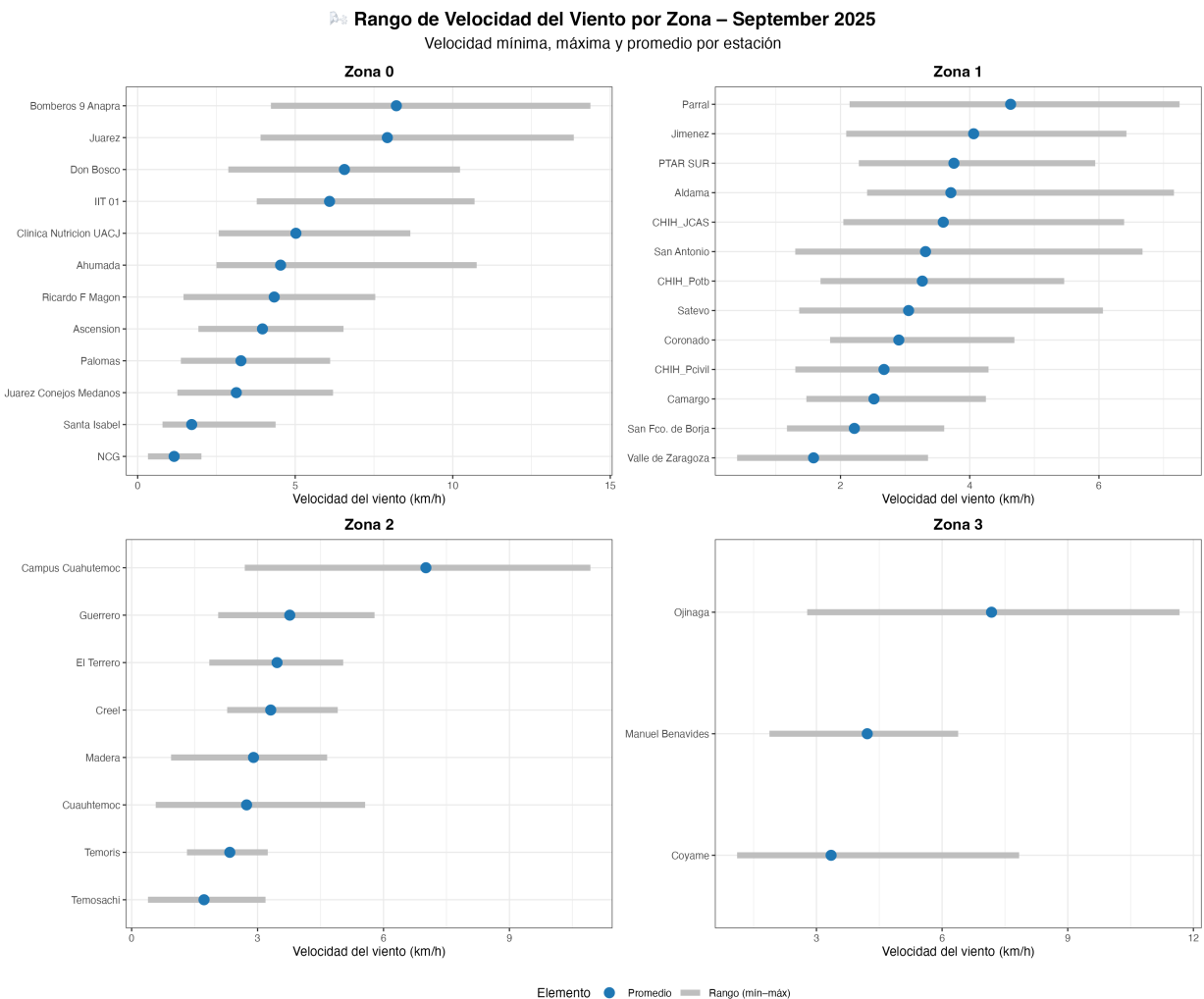


Figura 9: Comportamiento de la velocidad del viento para septiembre 2025

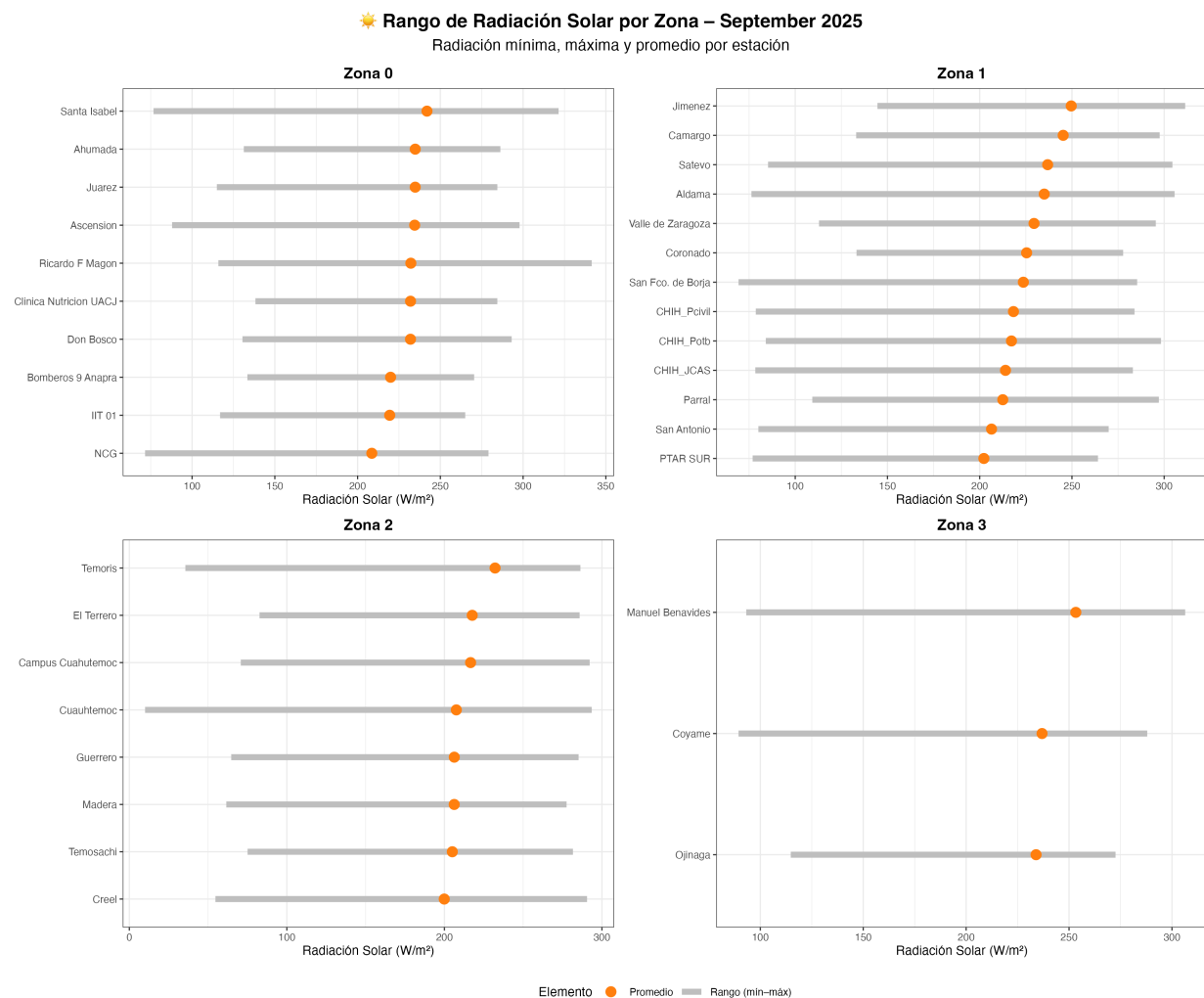


Figura 10: Comportamiento de la radiación solar incidente para septiembre 2025

en gran parte del norte y la Sierra Tarahumara, mientras que el centro-sur mantuvo valores ligeramente superiores al promedio.

La precipitación acumulada mostró un comportamiento mayoritariamente superior al promedio histórico, con anomalías positivas en el centro y occidente del estado. Las zonas serranas y del centro-sur concentraron los mayores acumulados mensuales, superando en algunos casos los 150 mm, mientras que el norte y oriente continuaron con un régimen más seco. Este patrón reafirma la influencia de los sistemas convectivos de verano y de la topografía orográfica, que favorecen la formación de lluvias en la Sierra Tarahumara y sus alrededores.

En cuanto a la presión atmosférica, los valores se mantuvieron dentro de rangos normales (1006–1011 mb), con ligeras variaciones explicadas principalmente por la altitud. Las condiciones fueron en general estables, sin evidencia de perturbaciones significativas.

La radiación solar presentó niveles elevados en todo el territorio, con máximos en las regiones áridas del norte y oriente, y menores valores en la zona serrana debido a la nubosidad asociada a los eventos de lluvia. Estos resultados son consistentes con la reducción gradual de la insolación característica de septiembre, pero aún con altos índices de irradiancia en las áreas más secas del estado.

Finalmente, el viento mostró velocidades promedio de 3 a 6 km/h, con máximos localizados en el norte (Juárez, Anapra) y en el oriente (Ojinaga), donde la topografía abierta favorece la circulación. Las rosas de viento revelaron predominio de direcciones del suroeste y noreste, coherentes con los patrones de flujo regional y los efectos locales de calentamiento superficial.

En conjunto, septiembre de 2025 se caracterizó por un equilibrio entre eventos húmedos intensos y condiciones térmicas moderadas, marcando el cierre del periodo de lluvias estivales en Chihuahua. Estos resultados son relevantes para el seguimiento de la disponibilidad hídrica, el planeamiento agroclimático y la evaluación del confort térmico en las principales zonas urbanas y rurales del estado.

En conjunto, se reafirma la necesidad de mantener y fortalecer la red de monitoreo climatológico para sustentar la gestión de riesgos hidrometeorológicos y apoyar la toma de decisiones estratégicas en los sectores agrícola, urbano y de protección civil. _____

Este documento fue generado automáticamente a partir de datos de la Red Climatológica de Chihuahua (JCAS-EMAS).

Para mayor información, contactar a:

clima@jcás.gob.mx comunicacionjcás@gmail.com 6144393500

Seguimos fortaleciendo la infraestructura de monitoreo en el estado.



JUNTA CENTRAL
DE AGUA Y SANEAMIENTO
DEL ESTADO DE CHIHUAHUA

